

01

Динамический хаос в нелинейной системе с $1/f$ -спектром

© В.П. Коверда, В.Н. Скоков

Институт теплофизики УрО РАН, Екатеринбург, Россия

E-mail: koverda@itp.uran.ru

Поступило в Редакцию 19 июня 2019 г.

В окончательной редакции 5 августа 2019 г.

Принято к публикации 7 августа 2019 г.

В системе двух нелинейных дифференциальных уравнений, предложенной для объяснения физической природы $1/f$ -спектров, обнаружена хаотизация траекторий при периодическом внешнем воздействии на одно из уравнений. Внешнее шумовое воздействие приводит к стохастическому резонансу и низкочастотному $1/f$ -поведению спектров мощности. Стохастический резонанс и $1/f$ -поведение спектров соответствуют максимуму информационной энтропии, что свидетельствует об устойчивости случайного процесса.

Ключевые слова: взаимодействующие фазовые переходы, динамический хаос, спектр мощности, $1/f$ -шум, стохастический резонанс, максимум энтропии.

DOI: 10.21883/PJTF.2019.22.48649.17936

Протекание и взаимодействие фазовых переходов в сложной неравновесной системе при наличии внешнего случайного и детерминированного воздействия могут сопровождаться возникновением больших флуктуаций с $1/f$ -поведением спектров мощности, степенными распределениями амплитуд [1–4], стохастическим резонансным откликом [5]. Неугасающий интерес к флуктуациям с $1/f$ -спектром мощности обусловлен их широким распространением, включая колебания напряжения и тока в вакуумных приборах или транзисторах [2–4], флуктуации астрофизических магнитных полей [6], пульсации турбулентных потоков [7,8], флуктуации в биологических системах [9]. Флуктуации с $1/f$ -спектром мощности были экспериментально обнаружены в теплофизических системах с интенсивными фазовыми переходами [10]. Это дало возможность получать экспериментальные данные о статистических характеристиках случайного процесса, что важно для анализа физической природы происхождения $1/f$ -шума.

При теоретическом описании экстремальные флуктуации с $1/f$ - и $1/f^2$ -спектром, которые могут возникать при взаимодействующих фазовых переходах, моделируются системой нелинейных стохастических уравнений [11]:

$$\begin{aligned} \frac{d\varphi}{dt} &= -\varphi\psi^2 + \psi + \xi_1(t), \\ \frac{d\psi}{dt} &= -\psi\varphi^2 + 2\varphi + \xi_2(t), \end{aligned} \quad (1)$$

где φ и ψ — динамические переменные (параметры порядка), ξ_1 и ξ_2 — шумы с нормальным распределением, $\langle \xi_k(t) \rangle = 0$, $\langle \xi_k(t)\xi_l(t') \rangle = \sigma^2 \delta_{k,l} \delta(t-t')$, $k, l = 1, 2$. Второе уравнение системы (1) является управляющим, первое — подчиненным [12]. При критической интенсивности шума в системе происходит индуцированный шумом переход, и частотные зависимости спектров мощности переменных ψ и φ соответственно принимают вид $S_\psi \sim 1/f^2$ и $S_\varphi \sim 1/f$. С использованием

принципа максимума энтропии было показано, что это состояние системы (1) является устойчивым [12,13]. Стохастическая переменная ψ подчиняется классической статистике: гауссовский „хвост“ распределения позволяет вычислить энтропию Гиббса–Шеннона для определения устойчивости процесса. Стохастическая переменная φ не подчиняется классической статистике: имеет степенную релаксацию, степенной „хвост“ распределения и поэтому не позволяет использовать энтропию Гиббса–Шеннона из-за расходимости при вычислении интеграла. Благодаря тому что стохастические переменные φ и ψ объединены в систему уравнений (1), ее решение позволяет получать достоверные сведения для неклассической стохастической переменной φ , а устойчивость случайного процесса оценивать по классическому поведению переменной ψ , определяемой управляющим уравнением системы (1).

При дополнительном воздействии периодического сигнала на нелинейную систему (1) наблюдается стохастический резонанс, при котором отклик нелинейной системы на детерминированное воздействие усиливается при добавлении шумового сигнала [5]. В [14] исследован стохастический резонанс при добавлении членов, учитывающих воздействие периодической силы, в оба уравнения системы (1). В отсутствие шума фазовые траектории представляли собой циклы, которые в зависимости от амплитуды и частоты внешнего воздействия либо располагались внутри одной из долин потенциального рельефа, либо охватывали обе долины. В первом случае циклы были несимметричны относительно начала координат фазовой плоскости, во втором — симметричны. При определенных значениях амплитуды и частоты внешней периодической силы наблюдались неравновесные фазовые переходы от несимметричных циклов к центрально-симметричным. При добавлении внешнего шума при низких частотах наблюдался стохастический резонансный отклик. При низких частотах гармонического воздействия с повышением интенсивности белого

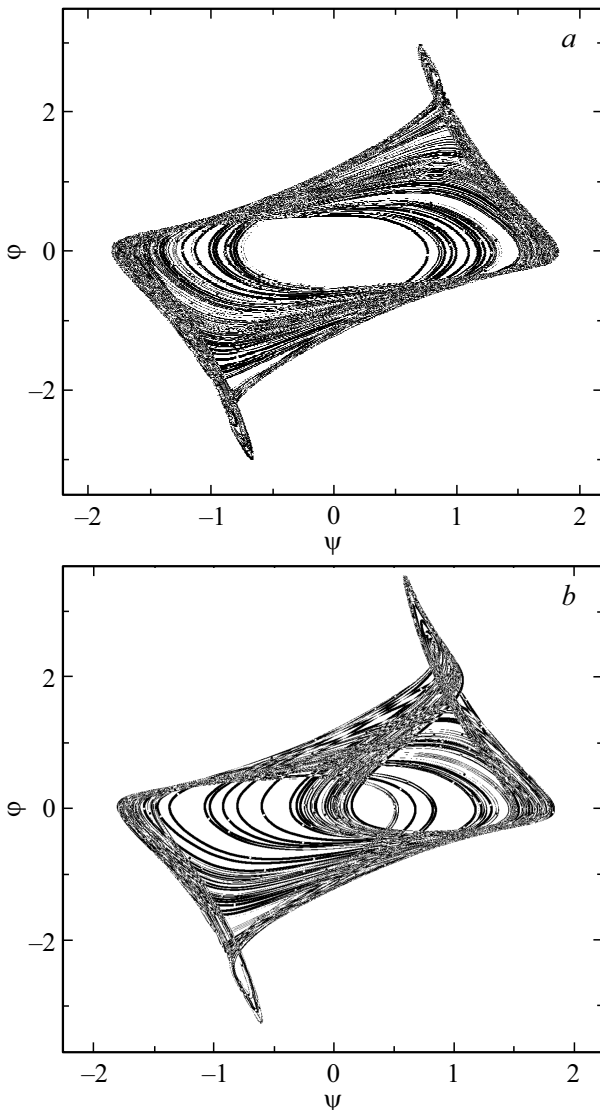


Рис. 1. Фазовые диаграммы системы в плоскости динамических переменных ψ и φ , соответствующие хаотическому режиму. *a* — фазовая траектория в отсутствие внешнего шума; *b* — фазовая траектория при дополнительном воздействии шума с амплитудой $\sigma = 0.025$. Амплитуда периодического сигнала $A = 2.15$, частота $f_0 = 0.123$.

шума наблюдается анизотропный стохастический резонанс, при котором движение системы ограничивается двумя взаимно перпендикулярными направлениями.

В настоящей работе рассмотрен случай, когда член, учитывающий периодическое воздействие с частотой f_0 и амплитудой A , добавлен только в первое уравнение системы (1). Динамика результирующего процесса в этом случае описывается уравнениями

$$\begin{aligned} \frac{d\varphi}{dt} &= -\varphi\psi^2 + \psi + \xi_1(t) + A \sin(2\pi f_0 t), \\ \frac{d\psi}{dt} &= -\psi\varphi^2 + 2\varphi + \xi_2(t). \end{aligned} \quad (2)$$

Система (2) решалась численным методом. В отсутствие шума ($\xi_1 = \xi_2 = 0$) найдены хаотические режимы с образованием странного аттрактора. Возможность возникновения хаоса в системе двух нелинейных дифференциальных уравнений связана с неавтономностью системы (2) (наличием явной зависимости от времени в правой части первого уравнения). Была определена область управляющих параметров A и f_0 , при которых наблюдалась хаотизация траекторий. Эта область была достаточно узкой: амплитуда A находилась в интервале от 2.10 до 3.0, а частота f_0 — в интервале от 0.7 до 0.14. На рис. 1, *a* приведены фазовые траектории системы (2) в плоскости динамических переменных ψ и φ , соответствующие хаотическому режиму при значениях $A = 2.15$ и $f_0 = 0.123$. Фазовые траектории, приведенные на данном рисунке, типичны для состояния динамического хаоса и имеют вид странного аттрактора [15,16]. Переход к хаосу от регулярных циклов при изменении управляющего параметра (f_0 или A) происходил через удвоение периода. На рис. 2, *a* приведен спектр мощности S_φ переменной φ в отсутствие внешнего шума. Вид спектра свидетельствует о хаотической динамике.

При включении небольшого внешнего шума ($\sigma < 0.06$) хаотическое поведение системы сохранялось. На рис. 1, *b* показана фазовая траектория системы при дополнительном воздействии шума с амплитудой $\sigma = 0.025$ на оба уравнения системы (2), а на рис. 2, *b* приведен соответствующий спектр мощности. При воздействии шума наблюдалось низкочастотное $1/f$ -поведение спектров мощности (штриховая линия на рис. 2, *b*).

Воздействие шума приводило к стохастическому резонансному отклику, проявляющемуся в увеличении амплитуды колебаний переменной φ , и соответственно увеличению пика спектральной плотности переменной на частоте f_0 . Так, при амплитуде периодической силы $A = 2.15$ и частоте $f_0 = 0.123$ максимум пика спектральной плотности $S^*(\sigma)$ наблюдался при шуме с амплитудой $\sigma = 0.025$. Увеличение пика спектральной плотности при таком шуме по сравнению с бесшумовым поведением составляло около 40%. Следует отметить, что максимум на зависимости $S^*(\sigma)$ наблюдался при тех же интенсивностях шума, что и переход к низкочастотному $1/f$ -поведению спектра мощности.

Из численных решений системы (2) были определены функции плотности вероятности распределений переменных $P(\psi)$ и $P(\varphi)$. Плотность вероятности $P(\psi)$ спадает при возрастании аргумента экспоненциально, как и для гауссовского распределения. Функция плотности вероятности распределения $P(\varphi)$ спадает при больших значениях φ по степенному закону. Энергия флуктуационных процессов определяется квадратом флуктуирующей переменной. На рис. 3, *a* приведена плотность вероятности $P(\varphi^2)$ распределения квадрата переменной φ в логарифмических координатах при шуме с амплитудой $\sigma = 0.025$, на рис. 3, *b* показана плотность вероятности $P(\varphi^2)$ в обычных координатах. Из рис. 3, *a*

видно, что зависимость $P(\varphi^2)$ в диапазоне почти трех порядков величины обратно пропорциональна аргументу: $P(\varphi^2) \sim 1/\varphi^2$.

Гауссовское распределение „хвостов“ переменной $\psi(t)$ дает основание пользоваться обычными формулами статистической механики. В частности, устойчивость процесса будет определяться максимумом информационной энтропии Гиббса–Шеннона [17]:

$$H = - \sum_n P_n \log(P_n),$$

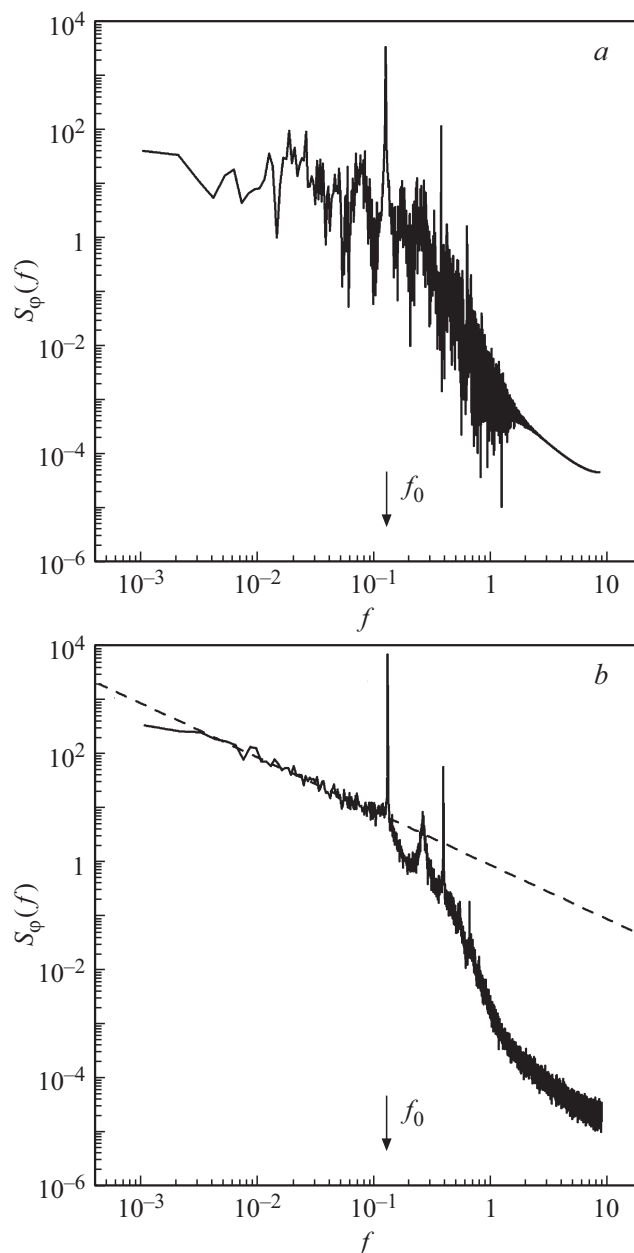


Рис. 2. Спектр мощности $S_\varphi(f)$ переменной φ . *a* — спектр хаотического режима в отсутствие внешнего шума; *b* — спектр при дополнительном воздействии шума с амплитудой $\sigma = 0.025$, штриховая линия соответствует зависимости $\sim 1/f$. Амплитуда периодического сигнала $A = 2.15$, частота $f_0 = 0.123$.

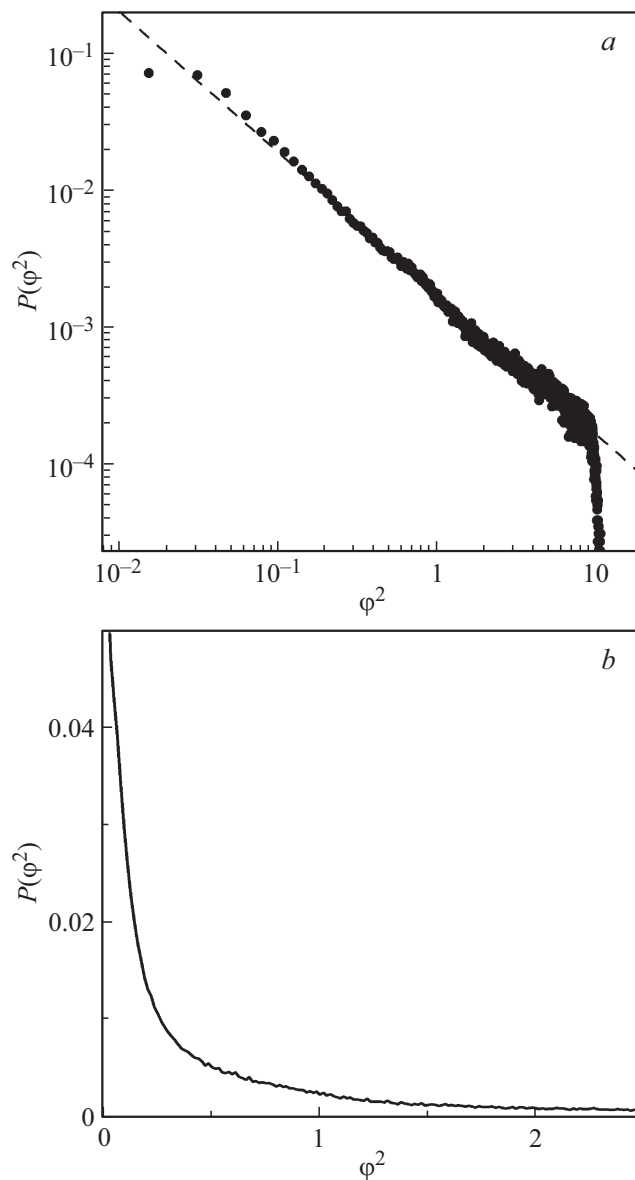


Рис. 3. Плотность вероятности распределения $P(\varphi^2)$ при дополнительном шуме с амплитудой $\sigma = 0.025$. *a* — зависимость $P(\varphi^2)$ в логарифмических координатах, штриховая линия соответствует зависимости $\sim 1/\varphi^2$; *b* — зависимость $P(\varphi^2)$ в обычных координатах.

где P_n — нормированная функция плотности вероятности процесса, индекс n относится к последовательности разбиения аргумента. Расчет энтропии Гиббса–Шеннона H_ψ для распределения $P(\psi^2)$ показал, что стохастическому резонансу и $1/f$ -поведению спектра мощности переменной φ соответствует максимум информационной энтропии H_ψ^* . Положение максимума спектра S_φ при стохастическом резонансе совпадает с положением максимума энтропии H_ψ^* , при этом наблюдается низкочастотный $1/f$ -шум.

Таким образом, при периодическом воздействии на систему, описывающую взаимодействующие фазовые переходы, обнаружена хаотизация траекторий с образова-

нием странного аттрактора. При шумовом воздействии наблюдается стохастический резонанс при сохранении хаотической динамики. Полученные результаты важны для объяснения физической природы $1/f$ -спектров.

Финансирование работы

Работа выполнена при частичной поддержке Комплексной программы УрО РАН (проект № 18-2-2-3) и Российского фонда фундаментальных исследований (проект № 19-08-00091-а).

Конфликт интересов

Авторы заявляют, что у них нет конфликта интересов.

Список литературы

- [1] *Климонтович Ю.Л.* Статистическая теория открытых систем. М.: Янус, 1995. 624 с.
- [2] *Коган Ш.М.* // УФН. 1985. Т. 145. № 2. С. 285–328.
- [3] *Dutta P., Horn P.M.* // Rev. Mod. Phys. 1981. V. 53. P. 497–516.
- [4] *Weissman M.B.* // Rev. Mod. Phys. 1988. V. 60. P. 537–571.
- [5] *Анищенко В.С., Нейман А.Б., Мосс Ф., Шиманский-Гайер Л.* // УФН. 1999. Т. 169. № 1. С. 7–39.
- [6] *Matthaeus W.H., Goldstein M.L.* // Phys. Rev. Lett. 1986. V. 57. P. 495–498.
- [7] *Колмогоров А.Н.* // ДАН СССР. 1941. Т. 30. № 4. С. 299–303.
- [8] *Pereira M., Gissinger C., Fauve S.* // Phys. Rev. E. 2019. V. 99. P. 023106.
- [9] *Gilden D.L., Thornton T., Mallon M.W.* // Science. 1995. V. 267. P. 1837–1839.
- [10] *Skokov V.N., Koverda V.H., Reshetnikov A.V., Skripov V.P., Mazheiko N.A., Vinogradov A.V.* // Int. J. Heat Mass Transfer. 2003. V. 46. P. 1879–1883.
- [11] *Koverda V.P., Skokov V.N.* // Physica A. 2005. V. 346. P. 203–216.
- [12] *Koverda V.P., Skokov V.N.* // Physica A. 2012. V. 391. P. 21–28.
- [13] *Коверда В.П., Скоков В.Н.* // Письма в ЖТФ. 2019. Т. 45. В. 9. С. 19–22.
- [14] *Скоков В.Н., Коверда В.П.* // ЖТФ. 2014. Т. 84. В. 5. С. 9–13.
- [15] *Шустер Г.* Детерминированный хаос: Введение. М.: Мир, 1988. 240 с.
- [16] *Анищенко В.С., Вадивасова Т.Е., Окрокверцхов Г.А., Стрелкова Г.И.* // УФН. 2005. Т. 48. № 2. С. 151–166.
- [17] *Башкиров А.Г.* // ТМФ. 2006. Т. 149. № 2. С. 299–317.